

I-19 平面応力問題の三次元弾性論による補正

山梨大学・工学部 平島健一
福島高専・土木科 根岸嘉和
大成建設(株)・小尾博俊

1. 緒言 本論文では、厳密には存在しない「平面応力状態の問題」と三次元弾性学の基礎関係式と平板の板厚方向表面の応力自由(stress free)の境界条件を満足するようにして理論式を構築した著者らの先の論文¹⁾に基づき、幾つかの数値解析を実行した結果を報告する。なお、定式化された理論式は位相係数の面内、面外問題に対しても成立するようになつてゐるが、低次の結果に相当する面内問題(Sheibeの問題)の例が、最近Clark^{2),3)}によつて発表されてゐるので、そのとの比較を含めて議論する。

2. 变位、応力の混合仮定に基づく一般化平板理論¹⁾ 右手系の直交デカルト座標系内の等厚平板に対して、応力および変位成分を板厚方向(z方向)の表面における境界(荷重)条件を満足するように無次元板厚度標 $\zeta = z/b$ ($b = R$: 板厚)に従う無限級数に展開する。

$$\left. \begin{aligned} \bar{\epsilon}_{\alpha\beta} &= \sum_{n=0}^{\infty} \bar{\epsilon}_{\alpha\beta}^{(n)} \cdot P_n(\zeta), & U_\alpha &= \sum_{n=0}^{\infty} U_\alpha^{(n)} \cdot P_n(\zeta), \\ \bar{\epsilon}_{xz} &= \sum_{n=0}^{\infty} b \cdot \bar{\epsilon}_{xz}^{(n)} \cdot R_n(\zeta), & \bar{\epsilon}_{zz} &= -P_z + b^2 \sum_{n=0}^{\infty} \bar{\epsilon}_{zz}^{(n)} \cdot S_n(\zeta) \end{aligned} \right\} \quad (1)$$

ここで、添字 α, β は板面内の座標 x, y を意味し、 $P_n(\zeta)$ はLegendre多項式であり、 $R_n(\zeta), S_n(\zeta)$ はそれぞれ $R_n(\zeta) = \int P_n(\zeta) d\zeta'$, $S_n(\zeta) = \int R_n(\zeta) d\zeta'$ の関係で定義された多項式である。

これら仮定から、物体力を無視した釣合方程式の重みつき積分平均によつて表示が、上記の各応力係数 $\bar{\epsilon}_{ij}^{(n)}$ の直接的な関係式として次式のように得られる。

$$\bar{\epsilon}_{\alpha\beta\beta} + \bar{\epsilon}_{\alpha z z}^{(n)} = 0, \quad \bar{\epsilon}_{xz\beta}^{(n)} + \bar{\epsilon}_{zz\beta}^{(n)} = 0 \quad (3)$$

ここで、コママの後の添字は、その添字の座標による偏微分を意味する。 α, β に関して和の規約を採用してある。次に、 $\bar{\epsilon}_{ij}^{(n)}$ と変位係数 $U_j^{(n)}$ との間の構成関係式と、弹性論の幾何関係式と構成関係式との融合式の重みつき積分表示として得ることにより、平板理論を定式化できるが、具体的な表示式は省略する。

3. 面内力を受ける平板(Sheibe)問題 前節のように展開して取扱う場合、面内方程式に寄与するのは級数展開の偶数次項のみであり、奇数次項のみを採用して構成された面外(曲げ: Plate)方程式とは対となる。ここで、上添字(n)を $n=0, 2, 4$ と採用した3次理論式の導出法(構成法)について触れる。まず、式(3)を満たすように断面力関数 $K^{(n)}, \Omega^{(n)}, \Psi^{(n)}$ および $\bar{\psi}^{(n)}$ を次のように定義する。

$$\left. \begin{aligned} \bar{\epsilon}_{xx}^{(n)} &= K_{yy}^{(n)}, \bar{\epsilon}_{yy}^{(n)} = K_{xx}^{(n)}, \bar{\epsilon}_{xy}^{(n)} = -K_{xy}^{(n)}, \bar{\epsilon}_{xz}^{(n)} = -\Omega_{y}^{(n)} - \Psi_{x}^{(n)}, \bar{\epsilon}_{yz}^{(n)} = \Omega_x^{(n)} - \Psi_y^{(n)}, \bar{\epsilon}_{zz}^{(n)} = \nabla^2 \Psi^{(n)}; \\ \bar{\epsilon}_{xz}^{(n)} &= -\Omega_{y}^{(n)} - \Psi_x^{(n)}, \bar{\epsilon}_{yz}^{(n)} = \Omega_x^{(n)} - \Psi_y^{(n)}, \bar{\epsilon}_{zz}^{(n)} = \nabla^2 \Psi^{(n)}, \nabla^2 = \frac{\partial^2}{\partial x^2} + \frac{\partial^2}{\partial y^2}. \end{aligned} \right\} \quad (4)$$

次に、 $\bar{\epsilon}_{\alpha\beta}^{(n)}, \bar{\epsilon}_{\alpha\beta}^{(n)}$ と上式で定義された断面力関数で表わすことを考えると、その導出過程で次の関係式がえられる。

$$\left. \begin{aligned} \nabla^4(K^{(n)} - A_0 \Psi^{(n)}) &= 0, \quad A_1 b^2 \nabla^2 \Omega^{(n)} - A_2 b^2 \nabla^2 \bar{\psi}^{(n)} - \Omega^{(n)} = 0, \quad A_3 b^2 \nabla^2 \Omega^{(n)} - A_4 b^2 \nabla^2 \bar{\psi}^{(n)} - \bar{\psi}^{(n)} = 0, \\ B_1 b^4 \nabla^4 \Psi^{(n)} - B_2 b^4 \nabla^4 \bar{\psi}^{(n)} - B_3 b^2 \nabla^2 \Psi^{(n)} + B_4 b^2 \nabla^2 \bar{\psi}^{(n)} + \Psi^{(n)} &= 0, \quad B_5 b^4 \nabla^4 \Psi^{(n)} - B_6 b^4 \nabla^4 \bar{\psi}^{(n)} - B_7 b^2 \nabla^2 \Psi^{(n)} + B_8 b^2 \nabla^2 \bar{\psi}^{(n)} + \Psi^{(n)} = 0. \end{aligned} \right\} \quad (5)$$

ここで、 A_j, B_k は弹性定数を含んだ定数係数。 $\bar{\epsilon}_{\alpha\beta}^{(n)}, \bar{\epsilon}_{\alpha\beta}^{(n)}$ は最終的な結果として次のようになる。

$$\left. \begin{aligned} \bar{\epsilon}_{xx}^{(n)} &= \Psi^{(n)} - X_{yy}^{(n)} + C_1 (2\Omega_{xy}^{(n)} - \frac{1}{3} \Omega_{yy}^{(n)}), \bar{\epsilon}_{yy}^{(n)} = \dots, \quad \bar{\epsilon}_{xy}^{(n)} = X_{xy}^{(n)} + C_1 (\{\Omega_{yy}^{(n)} - \Omega_{xx}^{(n)}\} - \frac{1}{6} (\Omega_{yy}^{(n)} - \Omega_{xx}^{(n)})), \\ \bar{\epsilon}_{xx}^{(n)} &= \Psi^{(n)} - X_{yy}^{(n)} - C_2 (\frac{1}{5} \Omega_{xy}^{(n)} - \frac{2}{11} \Omega_{yy}^{(n)}), \bar{\epsilon}_{yy}^{(n)} = \dots, \quad \bar{\epsilon}_{xy}^{(n)} = \dots, \\ X^{(n)} &= D_1 \Psi^{(n)} - D_2 \bar{\psi}^{(n)} - D_3 \nabla^2 \Psi^{(n)} + D_4 \nabla^2 \bar{\psi}^{(n)} + D_5 \nabla^2 (K^{(n)} - A_0 \Psi^{(n)}), \quad X^{(n)} = \dots \end{aligned} \right\} \quad (6)$$

ここで C_i, D_j は定数。上述の式で添字(n)を $n=0, 2$ と採用(i.e. $\Omega^{(n)} = \bar{\psi}^{(n)} = 0$)したものはClark & Rossiter³⁾による2次理論式となる。添字(n)を $n=0$ と採用(i.e. $\Omega^{(n)} = \bar{\psi}^{(n)} = 0$)したものは、古典的の平面応力

状態に他はらず、断面力函数 $K^{(1)}$ は Airy の应力函数に完全に一致し、" もゆる 1 次理論式が構成される。"

4. 数値計算例 Fig. 1 のように半無限板の端部に、連續する正弦

函数状の鉛直力が作用する問題を考えるとすれば、境界条件は

$$\Upsilon_{yy}(x, 0, z) = \sigma_0 \cos \alpha x, \quad \Upsilon_{xy}(x, 0, z) = \Upsilon_{yz}(x, 0, z) = 0, \quad (x = \frac{2\pi}{\lambda}) \dots (7)$$

である。上式に対応する $\Upsilon_{ij}^{(n)}$ の条件は次のようになります。

$$\Upsilon_{yy}^{(1)}(x, 0) = \sigma_0 \cos \alpha x, \quad \Upsilon_{xy}^{(1)}(x, 0) = 0, \quad \Upsilon_{yy}^{(2)}(x, 0) = \Upsilon_{xy}^{(2)}(x, 0) = 0. \quad (8)$$

$$\Upsilon_{yy}^{(3)}(x, 0) = \Upsilon_{xy}^{(3)}(x, 0) = \Upsilon_{yz}^{(3)}(x, 0) = 0.$$

この条件のもとで、式(5)を解き、断面力函数を求めることは出来ます。

その結果式(4)、(6)に代入し、23 回その結果式(1)に代入すれば、各应力值が求められます。

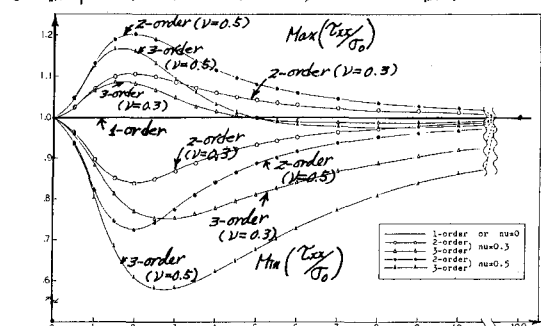
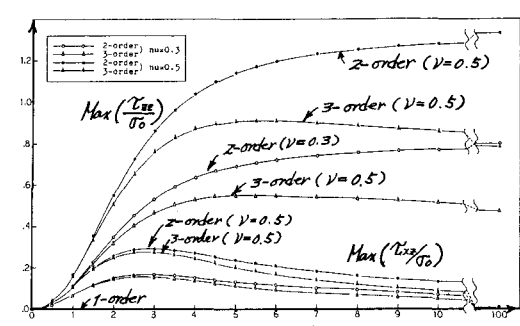
Fig. 2 X 軸上 ($y=0$) での Υ_{xy}/σ_0 の最大値と最小値Fig. 3 X 軸上 ($y=0$) での $\Upsilon_{xy}/\sigma_0, \Upsilon_{yz}/\sigma_0$ の最大値

Fig. 2 は板厚と載荷波形幅の比 $bd = 2\pi/\lambda$ をポアソン比 ν と比ヤードラメタと Υ_{xy}/σ_0 したときの端部 ($y=0$) での $\max(\Upsilon_{xy}/\sigma_0)$, $\min(\Upsilon_{xy}/\sigma_0)$ を図示したものである。古典的な平面应力解である 1 次理論では常に 1.0 であるが、 $bd \rightarrow 0$ 或 ∞ になると、2 次、3 次理論ともこの値に近づく。またそれらの差異が最も大きくなるのは $bd = 2 \sim 3$ (i.e. $2\pi/\lambda \approx 3\pi \sim 3\pi$) のときであり、これは載荷波形幅 λ と板厚 $2b$ が同程度であることを示してある。次に古典型平面应力解(1 次理論)では有効な 3 つの $\Upsilon_{xy}, \Upsilon_{yz}$ についての結果を Fig. 3 に示した。 Υ_{yz} の最大値は $bd = 3.0$ で生じるが、より大きな bd に向しても無視できぬものとなる。Fig. 4~6 は $bd = 4.0$ の場合の $\Upsilon_{xy}, \Upsilon_{yz}$ の分布を描いたものである。理論の次数が高くなるにつれて補正の効果が大きくなるのが読み取れる。

5. 結論 得られた結果をまとめると次のようになります。

(1) 本理論は採用項数に制限を受けないもので、任意次元の理論式を誘導することができる。

(2) " もゆる 3 平面应力解(1 次理論)は $bd = 2\pi/\lambda$

が充分小ささ" ときには、有効である。(3) 载荷波形幅 λ と板厚 $2b$ が同程度に近づくと 1 次理論は誤差が生じ、最大应力が 10~20% 程度の差異となる。

(4) 面外直応力 Υ_{zz} は $bd \rightarrow \infty$ につれて、1 次、2 次、3 次理論の間の差異が大きくなる。

(5) ポアソン比の影響については、その値が大きい程、古典型平面应力解(1 次理論)との差も大きくなる。…… Fig. 6 $y/b = 0.25, z/b = 0.5$ の位置での Υ_{xy}/σ_0 の分布。

